

## 集合の被覆の列挙

菊地 洋右<sup>1</sup> 中野 真一<sup>2</sup>

<sup>1</sup> 津山工業高等専門学校情報工学科岡山県津山市沼 624-1

kikuchi@tsuyama-ct.ac.jp

<sup>2</sup> 群馬大学工学部情報工学科群馬県桐生市天神町 1-5-1

nakano@cs.gunma-u.ac.jp

**概要：** 本文では集合  $S$  と  $S$  の被覆  $C$  が与えられたときに  $C$  の部分集合で  $S$  の被覆であるものを効率的に列挙することを考える。この列挙においては逆探索法を用いる。本文で提案するデータ構造と手続きにより集合の被覆は  $|S||C|$  時間の初期化の後、1 被覆あたり  $O(\max_{1 \leq i \leq |C|} |C_i|)$  時間で列挙できる。ここで  $C_i$  は  $C$  の要素とする。

## On the generation of set cover

Yosuke Kikuchi<sup>1</sup> Shin-ichi Nakano<sup>2</sup>

<sup>1</sup> Department of Electronics and Computer Science

Tsuyama National College of Technology

kikuchi@tsuyama-ct.ac.jp

<sup>2</sup> Department of Computer Science, Gunma University

nakano@cs.gunma-u.ac.jp

**Abstract :** Let  $S$  be a set and  $C$  the cover of  $S$ . This paper deals with a generation algorithm for all set covers of  $S$  that are sub set of  $C$ . This generation algorithm employs reverse search method. After  $O(|S||C|)$  time preprocessing the algorithm generates each set cover in  $O(\max_{1 \leq i \leq |C|} |C_i|)$ , where  $C_i \in C$ .

## 1 はじめに

集合  $S$  とその部分集合族  $C$  が与えられ、 $S \subseteq \bigcup_{C \in C} C$  であるとき  $C$  は  $S$  の被覆という。本文では

集合  $S$  と  $S$  の被覆  $C$  が与えられたときに  $C$  の部分集合で  $S$  の被覆であるものを列挙することを考える。 $S$  の被覆の中で、その被覆の濃度が最小のものを最小被覆といふ。集合  $S$  とその部分集合族  $C$  に対して最小被覆を求める問題は最小被覆問題とよばれ NP-完全な問題として知られている。また、極小被覆を列挙する問題は #P-完全な問題であることも知られている [3]。例えば集合  $S = \{a, b, c, d, e, f\}$ ,  $S$  の部分集合族  $C$  として  $\{C_1 = \{a, b, c\}, C_2 = \{a, c, d\}, C_3 = \{a, e\}, C_4 = \{b, c, d\}, C_5 = \{e\}, C_6 = \{c, d, e, f\}, C_7 = \{c, f\}\}$  が与えられているとする。このとき、 $S = \bigcup_{i=1}^7 C_i$  より  $C$  は  $S$  の被覆である。また、 $C' = \{C_1, C_3, C_5, C_6, C_7\}$  も  $S$  の被覆となっており、最小被覆は  $C'' = \{C_1, C_6\}$  である。

本文は、集合  $S$  とその部分集合族  $C = \{C_1, C_2, \dots, C_k\}$  が与えられたとき、 $C$  の部分集合で  $S$  の被覆であるものの全てを、重複なく、抜けなく、高速に列挙するアルゴリズムを与える。本文

のアルゴリズムは、 $O(|S||C|)$  時間の前処理の後、すべての被覆を 1 個あたり、 $O(\max_{1 \leq i \leq |C|} C_i)$  時間で列挙する。

本文の主なアイディアは、次の通りである。まず、 $C$  の部分集合で  $S$  の被覆であるものの全ての間に、木構造を定義する。一般にこの木は膨大なサイズとなり、全体を生成するためには、膨大な時間と膨大な記憶領域を必要とする。そこで、この木全体を生成せずに、上手に巡回することにより、高速に、被覆の列挙を行なう。このような手法は、逆探索法 [1, 2] を工夫したものであり、同様の手法により、多くの列挙問題を解く高速なアルゴリズムが幾つも知られている [4]。

本文で定義した木構造を図 4 に示す。3 章で説明するように、被覆  $C_p$  が被覆  $C_c$  の親であるとき、 $C_c \subset C_p$  かつ  $|C_c| = |C_p| - 1$  である。しかし、 $C_c \subset C_p$  かつ  $|C_c| = |C_p| - 1$  であっても被覆  $C_p$  は被覆  $C_c$  の親であるとは限らないことに注意しよう。(そのような  $C_p$  は複数存在するかもしれない)、親を唯一に定めるために工夫が必要である。) また、3 章では、各被覆から、その被覆の全ての子の被覆を高速に列挙する方法を説明する。本文のアルゴリズムは、これを再帰的に行なうことにより、全ての被覆を高速に列挙する。

## 2 データ構造

逆探索を行うためにはグラフ  $G$  のある頂点  $v$  が与えられたときに次に訪れる頂点を  $v$  のデータから決める必要がある。そのためのデータ構造について述べる。本論文では被覆を 2 次元配列、被覆の要素を格納したリスト構造、 $S$  の各要素に対してそれを含む  $C$  の要素を格納した 1 次元配列の 3 つのデータで表現する。2 次元配列だけでも被覆を表現できるが、列挙の効率化のためにリスト構造、1 次元配列を用いる。

各被覆のデータ構造の 2 次元配列は集合  $S$  の各要素が各行に対応し、集合族  $C$  の各要素が各列に対応する。この配列を  $A_{SC}^2$  とする。 $A_{SC}^2$  において集合  $S$  の要素  $x$  が  $C$  の要素  $C_i$  に含まれるとき  $x$  行  $i$  列の値は 1、含まれないときは 0 である。また、集合  $S$  の要素が  $C$  の要素に含まれる回数を 2 次元配列の最後の列に格納する。図 1 の下は 1 章で例に挙げた  $S$  と  $C$  に対する 2 次元配列を表したものである。図中には示していないが、この 2 次元配列では列ごとに 1 の要素はポインタで連結されている。 $C_3$  列では第 1 行目の要素の 1 と第 5 行目の要素の 1 がポインタで連結されている。2 次元配列の右には  $S$  の要素が  $C$  の要素に含まれる回数を管理するデータがある。

図 1 の上段にリスト構造  $L_{SC}$  を示す。被覆を表すリストにおいてリンクは、2 種類のリンクがある。一つは要素を順次連結したものであり、もう一つはその被覆からその要素を取り除いても被覆であるような要素を順に連結している。

さらに  $A_{SC}^2$  の右に  $S$  の各要素を含む  $C$  の要素をポインタで連結した 1 次元配列  $A_{SC}^1$  を置いている。このポインタでは  $L_{SC}$  と同様に取り除くことができる最小の添字をもつ要素に  $A_{SC}^2$  からポインタで連結されている。この例では  $a$  は  $C_1, C_2, C_3$  に含まれているので  $C_1, C_2, C_3$  がポインタで連結されている。

この図 1 の場合、2 種類のリンクは同一のものとなっている。

先の例では  $S$  の全ての要素が 2 つ以上の  $C$  の要素に含まれていた。ここで、被覆の 2 次元配列が表 1 であった場合は図 2 になる。表 1 では  $b$  は  $C_4$  のみに含まれている。よって、表 1 の被覆を親とする全ての被覆は  $C_4$  を含まなければならない。つまり、 $C_4$  を被覆から取り除くと被覆ではなくなる。そのことを表わすため、図 2 において  $C_4$  の背景を斜線としている。このとき  $C_3$  から  $C_5$  へのリンクが張られている。被覆を表すリストにおいてリンクは、その被覆からその要素を取り除いても被覆であるような要素を順に結んでいる。

## 3 被覆の家系木

1 章で述べた木構造をここでは家系木とよび、この家系木を用いて逆探索を行う。集合  $S$  とその部分集合族  $C = \{C_1, C_2, \dots, C_n\}$  について  $C$  は  $S$  の被覆であり、これを根被覆とよぶ。また、被覆

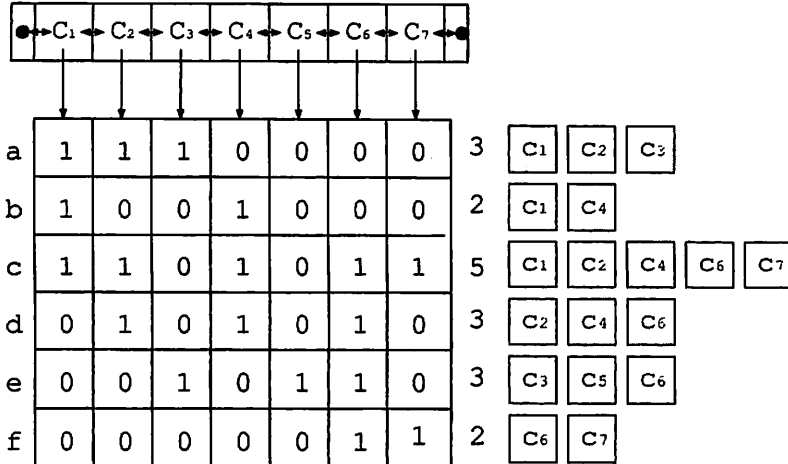


Figure 1: 被覆を表すリストと 2 次元配列

	c <sub>1</sub>	c <sub>2</sub>	c <sub>3</sub>	c <sub>4</sub>	c <sub>5</sub>	c <sub>6</sub>	c <sub>7</sub>	
a	1	1	1	0	0	0	0	3
b	0	0	0	1	0	0	0	1
c	1	1	0	1	0	1	1	5
d	0	1	0	1	0	1	0	3
e	0	0	1	0	1	1	0	3
f	0	0	0	0	0	1	1	2

Table 1: 被覆の例

$C' = \{C'_1, C'_2, \dots, C'_k\}$  に対して  $C_m$  を集合  $C \setminus C'$  の中で最大の添字をもつ要素とする。 $C_p = C' \cup \{C_m\}$  を構成する。この  $C_p$  を  $C'$  の親被覆とよぶ。 $C' \neq C$  であるならば  $C \setminus C' \neq \emptyset$  となるので必ず  $C'$  に対して  $C_p$  は存在し、一意に定まる。1 章の例  $C' = \{C_1, C_3, C_5, C_6, C_7\}$  では  $C_m = C_4$  となるので、親被覆は  $C_p = \{C_1, C_3, C_4, C_5, C_6, C_7\}$  である。

$C'$  に対して  $C_c = C' \setminus C_l$  を構成する。ここで、 $C_l$  は  $C \setminus C'$  の中で最大の添字をもつ要素  $C_m$  より大きい添字をもつ要素とする。この  $C_c$  が被覆であるとき、 $C_c$  を  $C'$  の子被覆とよぶ。 $C' = \{C_1, C_3, C_5, C_6, C_7\}$  の場合、 $C_m = C_4$  であるから  $C'$  の子被覆の候補として  $\{C_1, C_3, C_6, C_7\}$ ,  $\{C_1, C_3, C_5, C_7\}$ ,  $\{C_1, C_3, C_5, C_6\}$  が挙げられる。このうち、 $\{C_1, C_3, C_6, C_7\}$ ,  $\{C_1, C_3, C_5, C_6\}$  は  $S$  の被覆となっているので  $C'$  の子被覆である。一方、 $\{C_1, C_3, C_5, C_7\}$  は  $d \notin C_1 \cup C_3 \cup C_5 \cup C_7$  となり、 $S$  を被覆していないので子被覆ではない。このような子被覆とはならない子被覆の候補を生成しないためのデータ構造が 2 章で述べたものである。

$C_1$  が  $C'_1$  の親被覆であるならば  $C'_1$  は  $C_1$  の子被覆である。また  $C'_1$  が  $C_1$  の子被覆であるならば  $C_1$  は  $C'_1$  の親被覆である。この親被覆、子被覆の関係を逆探索に用いる有向辺とする。さらにこの有向辺により被覆の木構造を構成でき、この木構造の根は根被覆  $C$  である。この木を家系木とよぶ。1 章の例の家系木を図 4 に示す。

集合  $S$  と  $S$  の部分集合族  $C$  において根被覆  $C$  から上記で定義した親子関係をもとに全ての被覆を生成することを考える。ある被覆  $C_0 = \{C_1, C_2, \dots, C_k\}$  において  $C_m$  は集合  $C \setminus C_0$  の中で最大の添字をもつ要素と定義した。さらに  $C_0$  において  $C_m$  より大きい添字をもち、かつその要素を  $C_0$  から取り除いても被覆であるような要素の集合を  $C_0(m) = \{C_1(m), C_2(m), \dots, C_l(m)\}$  とす

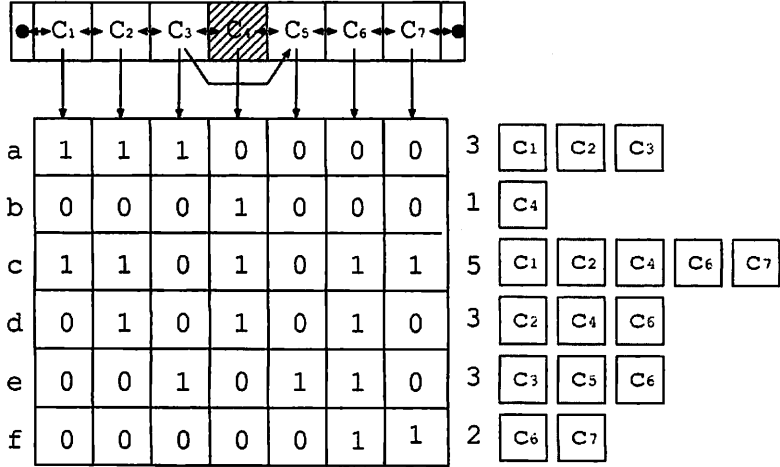


Figure 2: 表 1 に対するデータ構造

る。図 4 の  $\{C_1, C_3, C_6, C_7\}$  の場合、 $C_m = C_5$  であり、 $C_0(1) = \{C_7\}$  である。このときのデータ構造を図 3 に示す。リストにおいて、その要素をリストから取り除くと被覆でなくなる要素に対して背景をドットで表わす。この図のリストでは  $C_1, C_6$  の背景はドットとなっている。先頭から  $C_6$  へのポインタは  $C_{m+1}$  へのポインタである。

	$C_1$	$C_2$	$C_3$	$C_4$	$C_5$	$C_6$	$C_7$	
$a$	1	1	1	0	0	0	0	2
$b$	1	0	0	1	0	0	0	1
$c$	1	1	0	1	0	1	1	3
$d$	0	1	0	1	0	1	0	1
$e$	0	0	1	0	1	1	0	2
$f$	0	0	0	0	0	1	1	2

Table 2:  $C_0 = \{C_1, C_3, C_6, C_7\}$  をあらわす表

これらのデータ構造を用いて与えられた被覆  $C_0$  から  $C_0$  の子被覆を生成する手続きは以下のようになる。

```

Procedure find_all_child_cover
input cover  $C_0$ 
for(i=1; i ≤ l; i++){
    generate  $C_0 \setminus \{C_i(m)\}$ 
}

```

上記の Procedure `find_all_child_cover`において `generate  $C_0 \setminus \{C_i(m)\}$`  では 2 次元配列  $A_{SC_0}^2$  とリスト  $L_{SC_0}$  の更新を行う必要がある。 $C_0$  から  $C_i$  を取り除くとする。 $L_{SC_0}$  でポインタをたどり  $C_i$  を定数時間でみつけることができる。 $L_{SC_0}$  の  $C_i$  から  $A_{SC_0}^2$  の  $C_i$  列の最初の 1 をポインタでみつけ、 $A_{SC_0}^2$  の最後の列の値を 1 減らし、 $A_{SC_0}^1$  の配列から  $C_i$  を取り除く。 $A_{SC_0}^2$  の最後の列の値と  $A_{SC_0}^1$  の配列をもとに  $L_{SC_0}$  のポインタの更新を行う。これらの作業は定数時間で行え、 $C_i$  の要素全てに行うので  $O(|C_i|)$  時間かかる。よって、2 次元配列の更新に  $O(\max_{1 \leq i \leq |C|} |C_i|)$  時間、リストの

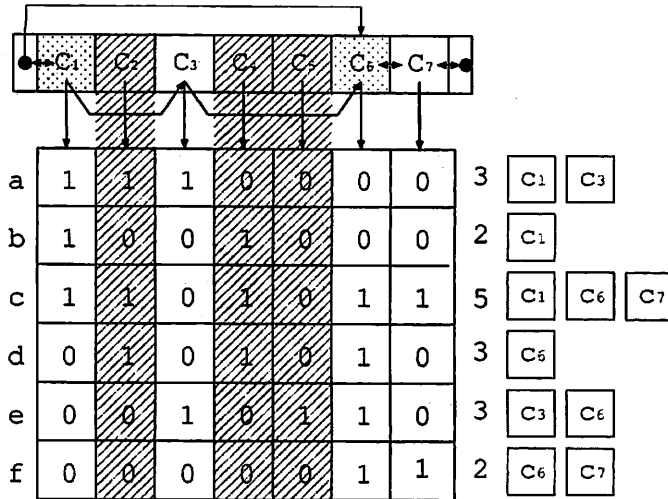


Figure 3:  $C_0 = \{C_1, C_3, C_6, C_7\}$  を表すデータ構造

更新は 2 次元配列の更新のたびに定数時間かかるので  $C_0$  の子被覆を一つあたり  $O(\max_{1 \leq i \leq |C|} |C_i|)$  で生成できる。

ある被覆  $C_0 = \{C_1, C_2, \dots, C_k\}$  が与えられたとき、 $C_0$  の親被覆の 2 次元配列を得るために  $O(\max_{1 \leq i \leq |C|} |C_i|)$  時間かかる。

**Theorem 3.1** 集合  $S$  とその部分集合族  $C$  が与えられたとき、上記のデータ構造と手続きにより集合の被覆は  $O(|S||C|)$  時間の初期化の後、1 被覆あたり  $O(\max_{1 \leq i \leq |C|} |C_i|)$  時間で列挙できる。

さらに上記のデータ構造では  $S$  の要素が被覆に含まれる回数を管理している。このデータ構造を用いることで  $S$  の各要素について少なくとも  $k$  個の  $C$  の要素に被覆されるという条件の問題についても同様に列挙できる。

## 4 連続集合の被覆の列挙

前章において集合  $S$  が離散集合の場合を扱った。本章では集合  $S$  が 1 つの連続する区間である場合について考える。

連続集合では離散集合の場合のように 1 被覆あたり  $O(\max_{1 \leq i \leq |C|} |C_i|)$  時間での列挙はできない。本文では最初に与えられる被覆  $C$  の細分  $\mathcal{I}$  を考え、その細分の被覆を列挙することで連続集合の被覆を列挙する。この方法により集合  $S$  が 1 つの連続する区間の場合は高速に列挙できる。以下では細分の構成について述べる。区間の集合  $C = \{C_1, C_2, \dots, C_n\}$  で、 $C$  は  $S$  の被覆となっている。また、各  $C_j \in C$  は連続する一つの区間とする。 $C$  の各要素の上限、下限なる数列

$$a_1 \leq a_2 \leq \dots \leq a_{2n}$$

を作る。 $C_j$  は開区間、閉区間、半開区間のいずれかであるので、 $a_i$  が  $C_j$  の上限または下限であったとすると、 $a_i$  は次の 4 つに分類できる。

1.  $C_j$  の上限であるが最大元ではない
2.  $C_j$  の最小元

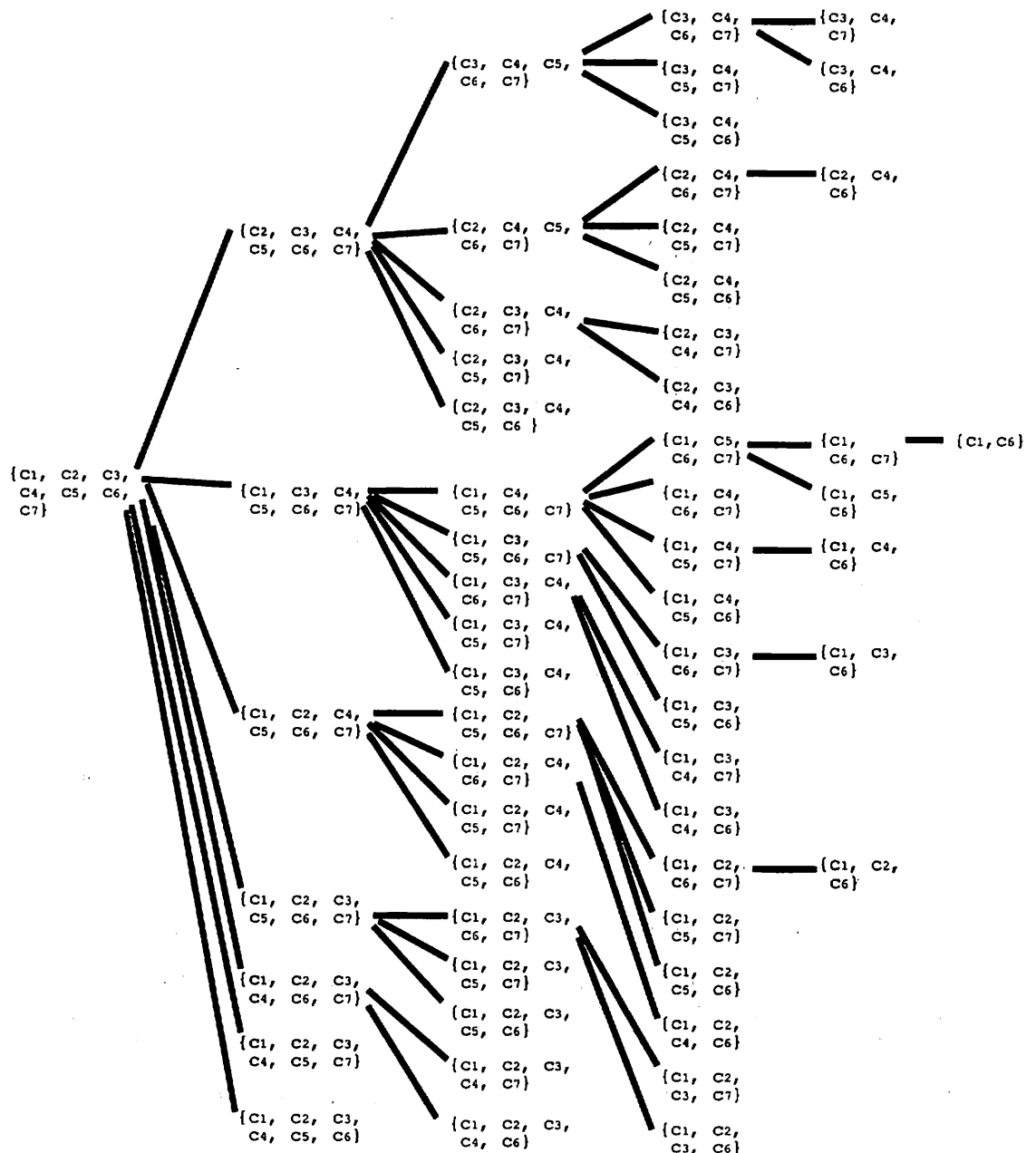


Figure 4: Family tree of covers

### 3. $C_j$ の最大元

#### 4. $C_j$ の下限であるが最小元ではない

$a_i = a_{i+1}$  であるとき  $a_i, a_{i+1}$  が上の分類で同じであるときは  $a_i$  と  $a_{i+1}$  を同一視する。 $a_i, a_{i+1}$  が上の分類で異なるときは分類されている番号の小さい順に整列する。これにより得られた数列

$$a'_1 \leq a'_2 \leq \cdots \leq a'_m$$

に対して  $a'_i$  から  $a'_{i+1}$  の区間を次のように構成する。

$a'_i < a'_{i+1}$  のとき

- (i)  $a'_i$  が分類 1 のとき  $a'_i$  が最小元である区間
- (ii)  $a'_i$  が分類 2 のとき  $a'_i$  が  $a'_i$  が最小元である区間
- (iii)  $a'_i$  が分類 3 のとき  $a'_i$  が下限だが最小元でない区間
- (iv)  $a'_i$  が分類 4 のとき  $a'_i$  が下限だが最小元でない区間
- (v)  $a'_{i+1}$  が分類 1 のとき  $a'_{i+1}$  が上限だが最大元でない区間
- (vi)  $a'_{i+1}$  が分類 2 のとき  $a'_{i+1}$  が上限だが最大元でない区間
- (vii)  $a'_{i+1}$  が分類 3 のとき  $a'_{i+1}$  が最大元である区間
- (viii)  $a'_{i+1}$  が分類 4 のとき  $a'_{i+1}$  が最大元である区間

上記 (i) から (viii) にしたがって  $a_i$  から  $a_{i+1}$  の区間を構成する。

$a'_i = a'_{i+1}$  のとき

- (i)  $a'_i$  が分類 1,  $a'_{i+1}$  が分類 3 のとき
- (ii)  $a'_i$  が分類 2,  $a'_{i+1}$  が分類 3 のとき
- (iii)  $a'_i$  が分類 2,  $a'_{i+1}$  が分類 4 のとき

上記 (i) から (iii) のいずれかを満たす場合のみ  $a_i$  のみからなる区間を構成する。

$\mathcal{C} = \{(0, 1], [1, 2], (2, 5], (3, 4), (3, 5]\}$  の場合、得られる区間は  $(0, 1)$ ,  $\{1\}$ ,  $(1, 2]$ ,  $(2, 3]$ ,  $(3, 4)$ ,  $[4, 5]$  となる。この上限と下限の数列から得られた区間の集合を  $\mathcal{I}$  とすると、 $\mathcal{I}$  は  $\mathcal{C}$  の細分となつておらず、 $S$  の被覆になっている。

よって、 $\mathcal{I}$  を集合と考えると、 $\mathcal{C}$  は  $\mathcal{I}$  の被覆であるので  $\mathcal{I}$  と  $\mathcal{C}$  について離散集合の場合と同様に被覆を列挙できる。また、 $|\mathcal{I}|$  は高々  $2|\mathcal{C}| - 1$  であることから次が言える。

**Theorem 4.1** 区間  $S$  とその部分区間の集合  $\mathcal{C}$  が与えられたとき、 $S$  の被覆は  $|S||\mathcal{C}|$  時間の初期化の後、1 被覆あたり  $O(|\mathcal{C}|)$  時間で列挙できる。

## 5 まとめ

本文では集合被覆の列挙について考察した。この列挙において逆探索法を用いた。集合  $S$  が区間の場合は細分により離散集合として列挙を考えた。しかし、 $S$  が区間の場合は区間グラフなどを用いてより効率的な列挙が考えられる。また、一般の連続集合での列挙についても考えられる。与えられた集合が区間であった場合は、その被覆の細分は被覆の定数倍であったが、一般的な場合は定数倍とはならない。そのため細分による方法では効率的に列挙できないと考えられる。これらについては今後の課題したい。

## References

- [1] D. Avis and K. Fukuda, Reverse Search for Enumeration, *Discrete Applied math* 65, 21–46, 1996.
- [2] 福田公明, 逆探索とその応用, 離散構造とアルゴリズム II, 近代科学社, 47–78, 1993.
- [3] M. L. Fredman and L. Khachiyan, On the complexity of dualization of monotone disjunctive normal forms, *Journal of Algorithms* 21, 618–628, 1996.
- [4] S. Nakano, Efficient generation of triconnected plane triangulations, *Computational Geometry* 27, 109–122, 2004.